

УДК 539.215.9:633.11

## Давление сыпучего материала в круглом сilosе

В. Б. Федосеев, О. Н. Серченко, Л. М. Грошев  
(Донской государственный технический университет)

Рассмотрена задача о распределении давления в сыпучем материале, находящемся в круглом сilosе, с позиций вязкой жидкости, обладающей сухим внутренним трением.

**Ключевые слова:** сыпучий материал, круглый сilos, боковой коэффициент, коэффициенты трения.

**Введение.** Как известно, сыпучие материалы обладают как свойствами твёрдого тела, так и свойствами жидкости, что сильно осложняет теоретические исследования. Например, достаточно элементарная задача расчёта давления в сыпучем материале, находящемся в цилиндрической ёмкости, с позиций сплошного твёрдого тела [1] приводит к резкому расхождению с экспериментальными данными.

Та же задача, рассматриваемая с позиций дискретного твёрдого тела, решается в первом приближении только для частиц сферической формы, «уложенных» горизонтальными слоями с правильной геометрической «упаковкой» [2]. При этом учитываются коэффициент трения между сферическими частицами (коэффициент внутреннего трения  $\mu_i$ ) и коэффициент трения частиц о стены ёмкости (коэффициент внешнего трения  $\mu_e$ ), которые определяются экспериментально. И хотя согласие с экспериментом здесь гораздо лучше, такой подход также вызывает справедливые возражения.

Предпринята попытка решить сформулированную выше задачу, представляя сыпучий материал в виде вязкой жидкости с теми же коэффициентами внутреннего ( $\mu_i$ ) и внешнего ( $\mu_e$ ) трения. При таком подходе нет необходимости задаваться формой частиц, их упругостью, упаковкой, размерами и т. д.

**Теоретический расчёт давления в круглом сilosе.** Рассмотрим сыпучий материал в глубоком круглом сilosе (см. рис. 1).

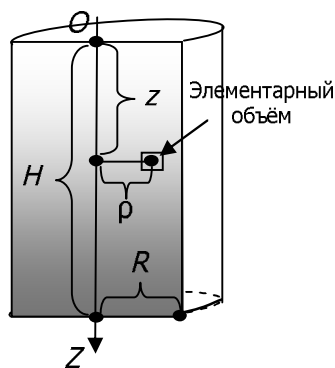


Рис. 1. Сыпучий материал в круглом сilosе и цилиндрическая система координат:  $H$  — высота сilosа;  $R$  — радиус сilosа;  $z, r$  — текущие координаты элементарного кольца

В силу симметрии задачи воспользуемся цилиндрической системой координат, в которой можно пренебречь зависимостью от азимутального угла, как показано на рис. 1. В слое сыпучего материала выделим элементарное кольцо, объём которого будет равным:  $2 \cdot \pi \cdot r \cdot dr \cdot dz$ .

В стационарном случае сумма сил, действующих на элементарное кольцо, равна нулю. В проекции на ось  $OZ$  это условие имеет вид:

$$0 = \gamma \cdot g \cdot 2 \cdot \pi \cdot \rho \cdot dp \cdot dz - 2 \cdot \pi \cdot \rho \cdot dp \cdot dz \cdot \frac{\partial P_z}{\partial z} \cdot dz - \mu_i \cdot 2 \cdot \pi \cdot \rho \cdot dz \cdot \frac{\partial P_p}{\partial p} \cdot dp, \quad (1)$$

где  $\gamma$  — плотность сыпучего материала;  $P_z$  — вертикальное, параллельное силе тяжести давление в сыпучем материале;  $P_p$  — горизонтальное, перпендикулярное силе тяжести давление в сыпучем материале.

Здесь мы, в согласии с экспериментом, полагаем, что закон Паскаля для сыпучих тел не справедлив.

В уравнении (1) первое слагаемое — сила тяжести элементарного кольца, второе — сила сопротивления движению за счёт градиента вертикального давления, третье — сила внутреннего сухого трения.

В проекции на горизонтальное направление это условие имеет вид:

$$0 = 2 \cdot \pi \cdot \rho \cdot dz \cdot \frac{\partial P_p}{\partial p} \cdot dp - \mu_i \cdot 2 \cdot \pi \cdot \rho \cdot dp \cdot \frac{\partial P_z}{\partial z} \cdot dz. \quad (2)$$

Здесь первое слагаемое — сила сопротивления сжатию (или растяжению) элементарного кольца, обусловленная градиентом горизонтального давления, второе — сила трения на горизонтальных поверхностях кольца.

Из уравнения (1), учитывая (2), получим дифференциальное уравнение для определения вертикальной компоненты давления:

$$0 = \gamma \cdot g \cdot 2 \cdot \pi \cdot \rho \cdot dp \cdot dz - 2 \cdot \pi \cdot \rho \cdot dp \cdot dz \cdot (1 + \mu_i^2) \cdot \frac{\partial P_z}{\partial z}. \quad (3)$$

Проинтегрируем уравнение (3) по координате  $p$  в пределах от 0 до  $R$ :

$$0 = \pi \cdot \gamma \cdot g \cdot R^2 \cdot dz - \pi \cdot R^2 \cdot dz \cdot (1 + \mu_i^2) \cdot \frac{\partial P_z}{\partial z} + C. \quad (4)$$

Поскольку при таком интегрировании элементарный объём переходит в элементарный слой, то в последнем уравнении первое слагаемое представляет собой силу тяжести, действующую на единицу длины (вдоль радиальной оси) элементарного слоя толщиной  $dz$ , второе слагаемое — результирующую силу сопротивления (за счёт градиента давления и силы внутреннего трения), действующую на этот элементарный слой. Поскольку уравнение (4) справедливо и на поверхности  $p = R$ , то очевидно, что константа  $C$  представляет собой силу трения, действующую на боковую поверхность элементарного слоя со стороны стенки силоса и направленную против силы тяжести:

$$C = -\mu_e \cdot P_p \cdot 2 \cdot \pi \cdot R \cdot dz = -\mu_e \cdot k \cdot P_z \cdot 2 \cdot \pi \cdot R \cdot dz. \quad (5)$$

Здесь использована связь между вертикальной и горизонтальной компонентами давления через боковой коэффициент  $k$ :  $P_p = k \cdot P_z$  (такая зависимость установлена в [3] и рекомендована в СНиП 2.02.02-85).

Общий интеграл уравнения (4) с учётом (5) можно представить в виде:

$$P_z = \frac{\gamma \cdot g \cdot R}{2 \cdot \mu_e \cdot k} + C_1 \cdot \exp\left(-\frac{2 \cdot \mu_e \cdot k \cdot z}{(1 + \mu_i^2) \cdot R}\right). \quad (6)$$

Если найти константу  $C_1$  из условия, что на поверхности силоса давление равно нулю, то выражение для вертикального давления (без учёта зависимости от горизонтальной координаты) примет вид:

$$P_z = \frac{\gamma \cdot g \cdot R}{2 \cdot \mu_e \cdot k} \cdot \left(1 - \exp\left(-\frac{2 \cdot \mu_e \cdot k \cdot z}{(1 + \mu_i^2) \cdot R}\right)\right). \quad (7)$$

Соответственно, выражение для горизонтальной компоненты давления запишется в виде:

$$P_p = \frac{\gamma \cdot g \cdot R}{2 \cdot \mu_e} \cdot \left( 1 - \exp \left( -\frac{2 \cdot \mu_e \cdot k \cdot z}{(1 + \mu_i^2) \cdot R} \right) \right). \quad (8)$$

Для анализа полученного решения найдём разность  $\Delta$  между весом сыпучего материала в сilosе и суммой сил давления на дно silosa  $F_D$  и силы трения сыпучего материала о боковую стену  $F_{TA}$ . Нетрудно убедиться, что эта разность будет равна:

$$\Delta = \frac{\pi \cdot \gamma \cdot g \cdot R^3}{2 \cdot \mu_e \cdot k} (1 + \mu_i^2 - 1) \cdot \left( 1 - \exp \left( -\frac{2 \cdot \mu_e \cdot k \cdot H}{(1 + \mu_i^2) \cdot R} \right) \right). \quad (9)$$

Из данного выражения видно, что  $\Delta = 0$  в том случае, когда  $\mu_i = 0$ . Таким образом, при выполнении условия равновесия движение сыпучего материала не происходит и внутренним трением можно пренебречь. Из (9) также следует, что если  $\mu_i \neq 0$ , то сила трения в сумме с силой давления будут меньше силы тяжести, за счёт чего, собственно, и происходит уплотнение сыпучего материала в silose.

Очевидно, что при  $\mu_i \rightarrow 0$ ,  $k \rightarrow 1$  наступит равновесное состояние (сыпучее тело переходит в идеальную жидкость), давление по горизонтали станет равным давлению по вертикали и, соответственно, решение (7) примет вид:

$$P_0 = \frac{\gamma \cdot g \cdot R}{2 \cdot \mu_e} \cdot \left( 1 - \exp \left( -\frac{2 \cdot \mu_e \cdot z}{R} \right) \right). \quad (10)$$

Графики зависимости давлений, рассчитанных по формулам (7) и (10), приведены на рис. 2.

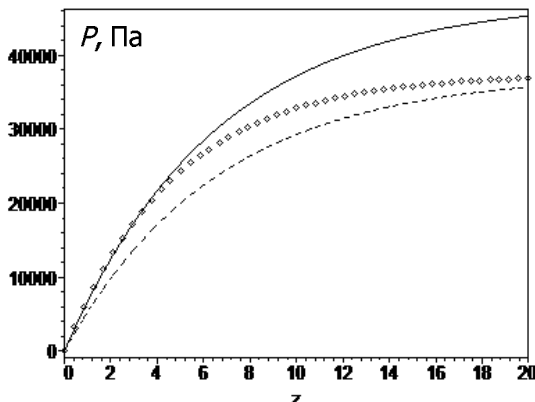


Рис. 2. Вертикальное (сплошная линия) и горизонтальное (пунктирная линия) давление в стационарном состоянии и давление (линия из точек) в равновесном состоянии для круглого silosa с сыпучим материалом ( $R = 3,5$  м,  $\chi = 300^\circ$ ,  $\gamma = 800$  кг/м<sup>3</sup>)

Из рисунка следует, что вертикальное давление в стационарном состоянии (сплошная линия) больше давления в равновесном состоянии (линия из точек). В то же время горизонтальное давление в стационарном состоянии меньше давления в равновесном состоянии (пунктирная линия). Следовательно, в равновесном состоянии стены silosa берут на себя большую нагрузку, в результате чего давление на дно уменьшается. Иначе говоря, в стационарном состоянии (при движении сыпучего материала) на стены silosa оказывается меньшая нагрузка, чем в равновесном состоянии, когда сыпучий материал неподвижен.

При нахождении сыпучего материала в silose формально он не перемещается, следовательно, находится в равновесном состоянии. При этом давление в нём необходимо рассчитывать по формуле (10). Но в действительности в сыпучем материале скачкообразно происходят процессы его уплотнения, слёживания под действием микроколебаний сейсмического или техногенного

характера, т. е. он находится в состоянии микродвижения. Таким образом, сыпучий материал часть времени «проводит» в стационарном состоянии, а часть — в равновесном. Соответственно, давление также меняется скачкообразно.

Введём теперь в решение (7) зависимость от координаты  $\rho$ . Аналогично [3] эту зависимость представим в виде:

$$P_z = \frac{\gamma \cdot g \cdot R}{2 \cdot \mu_e \cdot k} \cdot \left( 1 - \exp \left( -\frac{2 \cdot \mu_e \cdot k}{1 + \mu_i^2} \cdot \frac{z - (R - \rho) \cdot \tan \chi}{R} \right) \right), \quad (11)$$

где  $\chi$  — угол естественного откоса.

Потребуем теперь, чтобы решение (11) удовлетворяло уравнению (2) с учётом того, что  $P_\rho = k \cdot P_z$ :

$$k \cdot \frac{\partial P_z}{\partial \rho} = \mu_i \cdot \frac{\partial P_z}{\partial z}. \quad (12)$$

Найдя первые производные от (11) по координатам  $\rho$  и  $z$  и подставив их в равенство (12), получаем, что оно выполняется только при  $k \cdot \tan \chi = \mu_i$ , т. е.

$$k = \frac{\mu_i}{\tan \chi}. \quad (13)$$

Это выражение для бокового коэффициента совпадает с результатом, полученным в [3] для сыпучего материала, находящегося в насыпи.

Однако решение в форме (11) не удовлетворяет граничному условию на поверхности  $z = 0$ . Поэтому для нахождения более точного решения разобьём весь объём силоса, занятый сыпучим материалом, на области (рис. 3).

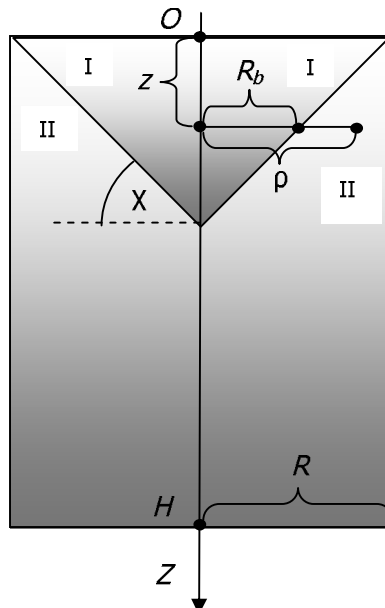


Рис. 3. Деление силоса на области:  $H$  — высота силоса;  $R$  — радиус силоса;  $\chi$  — угол естественного откоса;  $z, \rho$  — текущие координаты элементарного кольца;  $R_b$  — произвольная точка на границе областей I и II

Поскольку в области I влияние стенок силоса ещё не будет сказываться (эта область расположена выше плоскости естественного откоса), то в этой области решение будет определяться формулой [3]:

$$P_z^I(z) = \frac{\gamma \cdot g}{1 + \mu_i^2} \cdot z. \quad (14)$$

Решение в области II будем искать в виде:

$$P_z^{II}(\rho, z) = \frac{\gamma \cdot g \cdot R}{2 \cdot \mu_e \cdot k} \cdot \left( 1 - \exp \left( -\frac{2 \cdot \mu_e \cdot k}{1 + \mu_i^2} \cdot \frac{z - (R - \rho) \cdot \operatorname{tg} \chi}{R} \right) \right) + \frac{\gamma \cdot g}{1 + \mu_i^2} \cdot (R - \rho) \cdot \operatorname{tg} \chi. \quad (15)$$

На линии  $z = 0$  решение (15) обращается в нуль, на боковой стенке сilosа (при  $\rho = R$ ) оно переходит в уравнение (7), а на поверхности естественного откоса (на границе областей), определяемой уравнениями  $\rho = R_b$ ,  $z = (R - R_b) \cdot \operatorname{tg} \chi$ , уравнение (15) переходит в уравнение (14). Таким образом, согласование решений в областях I и II выполнено.

В случае, когда сыпучий материал находится в silosе с абсолютно гладкими стенами ( $\mu_e \rightarrow 0$ ), решение (15) примет вид:

$$\lim_{\mu_e \rightarrow 0} P_z^{II} = \frac{\gamma \cdot g}{1 + \mu_i^2} \cdot [z - (R - \rho) \cdot \operatorname{tg} \chi] + \frac{\gamma \cdot g}{1 + \mu_i^2} \cdot (R - \rho) \cdot \operatorname{tg} \chi = \frac{\gamma \cdot g}{1 + \mu_i^2} \cdot z.$$

Это означает, что сыпучий материал в этом случае ведёт себя как безграничная насыпь и влиянием стенок можно пренебречь, что не противоречит физическому смыслу задачи.

Итак, мы видим, что решения (14) и (15) удовлетворяют граничным условиям и предельному переходу к идеальной жидкости.

Таким образом, для идеального сыпучего материала в круглом silosе найдено вертикальное давление (15). Горизонтальное давление определяем из выражения (15) с учётом выражения (13) для бокового коэффициента.

На рис. 4 показана зависимость вертикального и горизонтального давления, рассчитанного по формулам (14) и (15), в silosе радиуса  $R = 3,5$  м, в котором находится сыпучий материал ( $\gamma = 800$  кг/м<sup>3</sup>,  $\chi = 30^\circ$ ), непосредственно вдоль его стенки и по центру silosа. Как видно из рисунка, вертикальное давление по осевой линии silosа ( $\rho = 0$ ) несколько выше вертикального давления у стенки silosа ( $\rho = R$ ) и, кроме того, горизонтальное давление меньше вертикального.

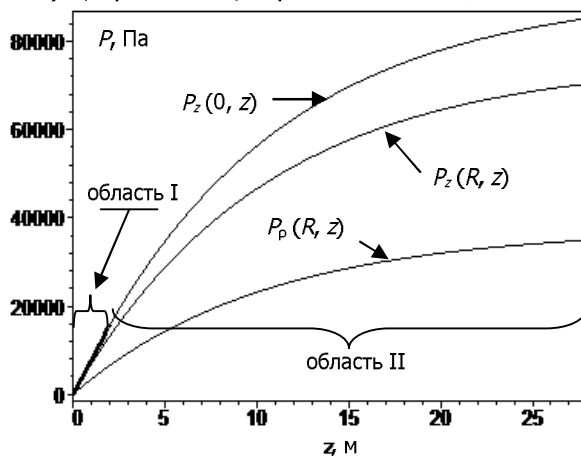


Рис. 4. Зависимость вертикального и горизонтального давления от координаты  $z$ :  $P_z(0, z)$  — вертикальное давление на оси silosа;  $P_z(R, z)$  — вертикальное давление у стенки silosа;  $P_p(R, z)$  — горизонтальное давление у стенки silosа; радиус silosа  $R = 3,5$  м; угол естественного откоса  $\chi = 30^\circ$ ; плотность сыпучего материала  $\gamma = 800$  кг/м<sup>3</sup>;  $\mu_i = 0,287$ ;  $\mu_e = 0,364$

На рис. 5, 6 представлены графики сравнения теоретических кривых (непрерывные линии) и экспериментальных значений [4]. На рис. 5 показана зависимость горизонтального давления на стену круглого железобетонного silosа высотой  $H = 21$  м и радиусом  $R = 3,25$  м, а на

рис. 6 — зависимость силы давления на дно стального круглого сilosа высотой  $H = 6$  м и радиусом  $R = 0,5$  м.

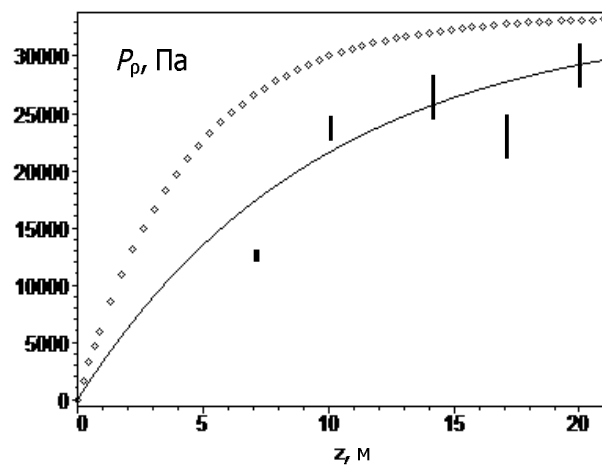


Рис. 5. Теоретическое горизонтальное стационарное (сплошная линия) и равновесное (линия из точек) давление в круглом железобетонном сilosе ( $H = 21$  м,  $R = 3,25$  м,  $\chi = 30^\circ$ ); вертикальные линии — разброс экспериментальных значений

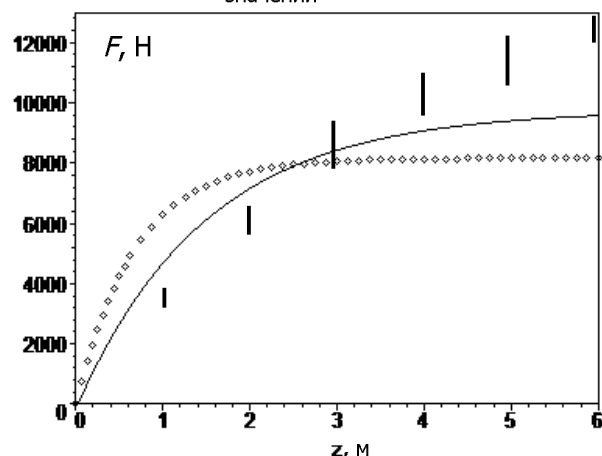


Рис. 6. Теоретическая сила давления на дно стального круглого сilosа ( $H = 6$  м,  $R = 0,5$  м) от высоты засыпки: сплошная линия — стационарное состояние, линия из точек — равновесное ( $\chi = 30^\circ$ ); вертикальные линии — разброс экспериментальных значений

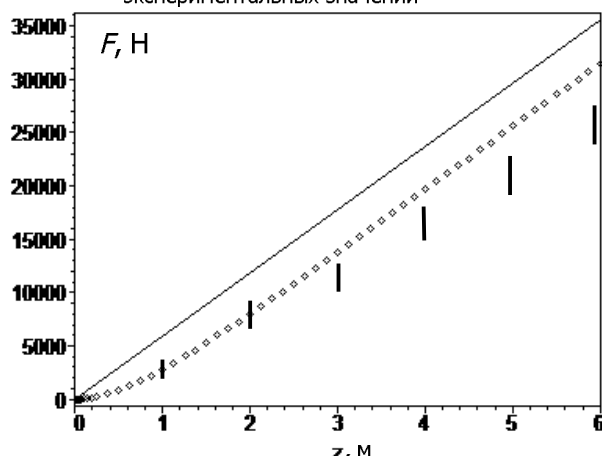


Рис. 7. Зависимость силы трения на боковую стенку круглого стального сilosа ( $H = 6$  м,  $R = 0,5$  м,  $\chi = 30^\circ$ ) от высоты засыпки: стационарное состояние — сплошная линия, равновесное — линия из точек, вертикальные линии — разброс экспериментальных значений

На рис. 7 представлена зависимость силы трения, действующей на боковую стенку стального круглого сilosа высотой  $H = 6$  м и радиусом  $R = 0,5$  м, от высоты засыпки.

Как видно из рисунков, разброс экспериментальных данных достаточно велик. Кроме того, само горизонтальное давление по направлениям сторон света разное [4].

**Выводы.** Очевидно, что этот разброс экспериментальных значений связан с процессами уплотнения сыпучего материала, со временем его выдержки в silosе, а также с тем, с какого направления идут микровибрации сейсмического или техногенного характера. Сыпучий материал в silosе всё время находится в промежуточном положении между стационарным и равновесным состояниями. Кроме того, сами параметры сыпучего материала (насыпная плотность, углы внешнего и внутреннего трения) являются некоторыми обобщёнными, мало соответствующими конкретному сыпучему материалу и, к тому же, меняющимися с течением времени. Поэтому более точного согласия с экспериментальными данными ожидать трудно.

Но из сравнения с экспериментальными данными всё же можно сделать вывод, что состояние сыпучего материала ближе к стационарному, чем к равновесному.

Таким образом, подход к сыпучему материалу как к вязкой жидкости приводит к согласию с экспериментальными данными при минимальном количестве необходимых допущений.

#### **Библиографический список**

1. Соколовский, В. В. Статика сыпучей среды / В. В. Соколовский. — Москва: Физматгиз, 1960. — 241 с.
2. Гячев, Л. В. Основы теории бункеров / Л. В. Гячев. — Новосибирск: Изд-во Новосибир. ун-та, 1992. — 312 с.
3. Федосеев, В. Б. Боковой коэффициент и давление в насыпи сыпучего материала / В. Б. Федосеев, А. Б. Гордеева // Изв. вузов. Сев.-Кавк. регион. Сер. Естеств. науки. — 2010. — № 2. — С. 58—60.
4. Хаймович, М. И. Опытное определение давления зерна в silosах / М. И. Хаймович // Строительная промышленность. — 1944. — № 5—6.

Материал поступил в редакцию 16.12.2011.

#### **References**

1. Sokolovskij, V. V. Statika sy`puchej sredy` / V. V. Sokolovskij. — Moskva: Fizmatgiz, 1960. — 241 s. — In Russian.
2. Gyachev, L. V. Osnovy` teorii bunkerov / L. V. Gyachev. — Novosibirsk: Izd-vo Novosibir. un-ta, 1992. — 312 s. — In Russian.
3. Fedoseev, V. B. Bokovoj koe`fficient i davlenie v nasy`pi sy`puchego materiala / V. B. Fedoseev, A. B. Gordeeva // Izv. vuzov. Sev.-Kavk. region. Ser. Estestv. nauki. — 2010. — # 2. — S. 58—60. — In Russian.
4. Xajmovich, M. I. Opy`tnoe opredelenie davleniya zerna v silosax / M. I. Xajmovich // Stroitel`naya promy`shlennost`. — 1944. — # 5—6. — In Russian.

## **BULK MATERIAL PRESSURE IN ROUND SILO**

**V. B. Fedoseyev, O. N. Serchenko, L. M. Groshev**

(Don State Technical University)

*The problem on pressure distribution in the bulk material of the round silo with allowance for viscous fluid with dry internal friction is considered.*

**Keywords:** bulk material, round silo, lateral factor, friction factors.